

На рис. 3 представлен увеличенный фрагмент интерферограммы колебаний диафрагмы на частоте 11800 Гц, из которого можно определить амплитуду колебаний отдельных ячеек. На амплитудно-частотной характеристике среднечастотной головки громкоговорителя в этой области частот наблюдается увеличение неравномерности и нерегулярности (узкие и высокие пики-провалы).

Для широкополосной головки описанные явления аналогичны, но возникают в других частотных областях.

Обнаруженные нами колебания отдельных ячеек диафрагмы несомненно влияют на амплитудно-частотные характеристики сотовых диафрагм, особенно в области высоких частот.

## Список литературы

- [1] Романова Т.П. В сб.: Повышение конкурентоспособности радиоэлектронной аппаратуры. Таллин: ВАЛТУС. 1985. С. 95-162.

Физико-технический  
институт им. А.Ф. Иоффе  
АН СССР, Ленинград

Поступило в Редакцию  
20 апреля 1989 г.

Письма в ЖТФ, том 15, вып. 12  
05; 12

26 июня 1989 г.

## КЛАСТЕРИЗАЦИЯ ВАКАНСИЙ В ПРОЦЕССЕ ТЕРМИЧЕСКОГО ОТЖИГА КАРБИДА КРЕМНИЯ, ОБЛУЧЕННОГО ТЯЖЕЛЫМИ ИОНАМИ

А.И. Гирка, А.Ю. Дидык,  
А.Д. Мокрушин, Е.Н. Мокхов,  
С.В. Свирида, А.В. Шишкян,  
В.Г. Шаровоз

Легированию полупроводников путем ионной имплантации сопутствует введение радиационных дефектов, которые могут существенно влиять на характеристики полупроводниковых приборов. При разработке микрэлектронной технологии с использованием ионной имплантации требуется информация о физической природе возникающих дефектов и их поведении в процессе термического отжига. Следует также отметить и самостоятельное значение исследований дефектов, возникающих при прохождении тяжелых заряженных частиц через различные материалы [1].

В данной работе представлены результаты позитронных исследований структурных дефектов вакансационного типа, образующихся в монокристаллах карбида кремния ( $SiC$ ) при облучении тяжелыми ионами, а также эволюции этих дефектов в процессе изохронного

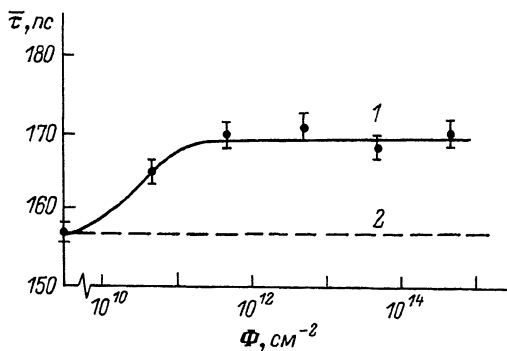


Рис. 1. Зависимость среднего времени жизни позитронов  $\bar{\tau}$  от флюенса ионов ксенона  $\Phi$  (1); 2 -  $\bar{\tau}$  для необлученного  $\text{SiC}$ .

отжига. Объектами исследования служили монокристаллы  $\text{SiC}$  политетила 6Н, выращенные методом Лели при температуре 2600–2700 °С. Образцы имели  $n$ -тип проводимости за счет легирования азотом до концентраций  $N_D - N_A = (1-3) \cdot 10^{18} \text{ см}^{-3}$ . Облучение ионами ксенона с энергией  $\sim 1 \text{ МэВ/нуклон}$  проводилось на ускорителе ионов У-300 лаборатории ядерных реакций ОИЯИ (г. Дубна) при температуре не выше 50 °С. Диапазон флюенсов облучения  $5 \cdot 10^{10} - 5 \cdot 10^{14} \text{ см}^{-2}$ . Изохронный отжиг ( $t_\alpha = 10 \text{ мин}$  шаг 100 °С) облученных образцов  $\text{SiC}$  осуществлялся на воздухе или в атмосфере чистого аргона в интервале температур  $T_\alpha = 100-2000 \text{ }^\circ\text{C}$ . Сведения о характеристиках установки для измерения времени жизни позитронов, а также рассмотрение методических вопросов, связанных с анализом аннигиляционных параметров в случае облучения ионами с энергией  $\sim 1 \text{ МэВ/нуклон}$  подробно изложены в работе [2].

Известно [3], что при ионном облучении кристалла вдоль трека внедряемого иона образуются разупорядоченные области (РО), характеризующиеся высокой концентрацией дефектов. Захват позитронов этими дефектами и приводит к монотонному увеличению среднего времени жизни позитронов  $\bar{\tau}$  с ростом флюенса тяжелых ионов (см. рис. 1). При флюенсе  $\sim 5 \cdot 10^{11} \text{ см}^{-2}$   $\bar{\tau}$  достигает насыщения и в пределах экспериментальной ошибки не изменяется с ростом флюенса до  $5 \cdot 10^{14} \text{ см}^{-2}$ . Такое поведение среднего времени жизни позитронов в диапазоне флюенсов  $5 \cdot 10^{11}-5 \cdot 10^{14} \text{ см}^{-2}$  позволяет считать, что практически все термализовавшиеся в поврежденном приповерхностном слое позитроны захватываются в вакансационные дефекты, формирующие РО, а среднее расстояние между разупорядоченными областями уже при флюенсе  $\sim 5 \cdot 10^{11} \text{ см}^{-2}$  не превышает диффузионной длины позитронов в  $\text{SiC}$ , равной  $\sim 120 \text{ нм}$ . Компонентный анализ спектров времени жизни позитронов позволил выделить долгоживущую компоненту  $\tau_\alpha = (220-230) \text{ пс}$ , интенсивность которой составила  $\sim (13-17)\%$ . Это значение  $\tau_\alpha$  соответствует аннигиляции позитронов в дивакансиях

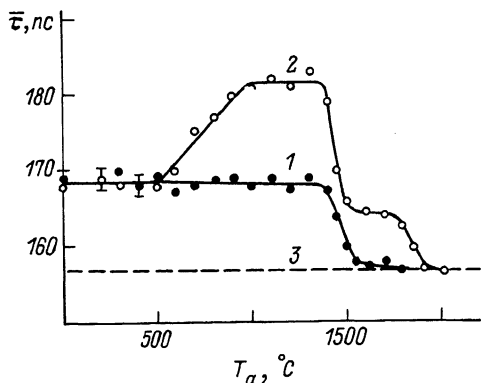


Рис. 2. Зависимости среднего времени жизни позитронов  $\bar{\tau}$  от температуры  $T_a$  изохронного отжига облученных ионами ксенона образцов карбида кремния: 1 - образцы  $SiC$ , облученные до флюенсов  $\Phi \leq 5 \cdot 10^{12} \text{ см}^{-2}$ ; 2 - образцы  $SiC$ , облученные до флюенсов  $\Phi \geq 5 \cdot 10^{13} \text{ см}^{-2}$ ; 3 - необлученные образцы  $SiC$ .

или комплексах вакансия-примесный атом. Сравнительно небольшая интенсивность долгоживущей компоненты  $I_\alpha \approx 15\%$  в облученном ионами  $SiC$  обусловлена малостью толщины дефектного слоя по сравнению с величиной среднего пробега позитронов от изотопа  $^{22}Na$ . Отсюда, согласно [2], можно оценить толщину дефектного слоя, которая составляет  $\sim 14$  мкм и совпадает с длиной пробега ионов ксенона с энергией  $\sim 1$  МэВ/нуклон, рассчитанной по программе EDEP-1 [4].

Зависимости среднего времени жизни позитронов от температуры изохронного отжига облученных до различных флюенсов образцов  $SiC$  приведены на рис. 2. Хорошо видно, что имеют место два типа кривых изохронного отжига: первый характеризуется одной стадией отжига радиационных дефектов в диапазоне  $T_a = 1400 - 1600$  °C (с энергией активации миграции дефектов  $2.2 \pm 0.3$  эВ), второй имеет более сложную зависимость  $\tau = f(T_a)$ . Здесь наблюдаются стадия отрицательного отжига (увеличение  $\bar{\tau}$ ) в интервале  $T_a = 500 - 1000$  °C и две высокотемпературные стадии изменения  $\bar{\tau}$  (диапазоны  $T = 1400 - 1500$  и  $1750 - 1950$  °C). Наличие одной стадии отжига для образцов  $SiC$ , облученных дозой менее  $\sim 5 \cdot 10^{13} \text{ см}^{-2}$ , свидетельствует о том, что позитроны аннигилируют преимущественно в вакансационных дефектах одного типа. Как было упомянуто выше, этими дефектами являются дивакансы или комплексы вакансия-примесный атом. Наблюдаемое на рис. 1 насыщение  $\bar{\tau}$  при  $\Phi > 5 \cdot 10^{11} \text{ см}^{-2}$  обусловлено захватом всех позитронов в дефекты, однако концентрация таких дефектов продолжает расти с дальнейшим повышением дозы облучения и достигает некоего "критического" значения при флюенсе  $\sim 5 \cdot 10^{13} \text{ см}^{-2}$ . При этом,

как это видно из рис. 2, становится возможной кластеризация вакансий в процессе отжига при  $T = 500-1000$  °C, причем процесс кластеризации вакансий, по-видимому, связан с присутствием в образцах  $SiC$  примесей (азот, кислород). Две высокотемпературные стадии отжига связаны с диссоциацией вакансационных кластеров.

Таким образом, в данной работе показано, что облучение моно-кристаллов карбида кремния ионами  $^{129}Xe$  с энергией  $\sim 1$  МэВ/нуклон приводит к образованию вакансационных дефектов, сосредоточенных внутри приповерхностного слоя толщиной  $\sim 14$  мкм. Существует критический флюенс ионов ксенона, равный  $\sim 5 \cdot 10^{13}$  см $^{-3}$ , начиная с которого облученная система в процессе отжига становится неустойчивой, что приводит к кластеризации первичных вакансий в диапазоне температур 500-1000 °C. Такие вакансационные кластеры могут вызывать деградацию электронных свойств приборов на основе карбида кремния. Устранение подобных дефектов требует проведения термообработки при температурах порядка 2000 °C.

### Список литературы

- [1] Флеров Г.Н., Оганесян Ю.Ц. // Вестник АН СССР. 1980. № 12. С. 28-45.
- [2] Гирка А.И., Клопиков Е.Б., Скуратов В.А., Шишкян А.В. // ФТП. 1989. Т. 23. В. 2. С. 328-331.
- [3] Бару В.Г., Волькенштейн Ф.Ф. Влияние облучения на поверхностные свойства полупроводников. М.: Наука, 1978. 288 с.
- [4] Davisson C.M., Manning I. // Comput. Phys. Commun. 1986. N 42. P. 137.

Московский  
инженерно-физический  
институт

Поступило в Редакцию  
1 апреля 1989 г.

Письма в ЖТФ, том 15, вып. 12  
11

26 июня 1989 г.

### КРИСТАЛЛИЗАЦИЯ ПЛЕНОК $\text{C}_60$ -УГЛЕРОДА ПРИ ОТЖИГЕ

А.В. Станышевский

Процессы графитизации и кристаллизации при термообработке аморфных пленок углерода, полученных осаждением атомарных и молекулярных потоков углерода в вакууме и имеющих в основном графитоподобную структуру, достаточно хорошо изучены, однако при отжиге пленок так называемого  $\text{C}_60$ -углерода, полученных конденсацией частиц с повышенной энергией, в некоторых случаях имеют место структурные изменения, которые нельзя объяснить в рамках известных моделей [1, 2].